

九州大学 工学部 正員 椿 東一郎  
 " 大学院 学生員 小松 利光  
 " " " 井沢 一

まえがき

周囲流体より軽い流体を上向きに連続的に噴出させる、いわゆる *forced plume* においては *homogeneous jet* と同様に周囲の静止流体からの巻き込み(連行現象)が最も重要な役割をもっている。従来、*plume* の場合には実験的に定められる連行係数  $E$  を便宜的に連続の式に導入して解析している。前報において密度差を伴う水平密度噴流について  $E$  を理論的に求め、いわゆる *Ellison & Turner* の関係と導いた。ここではこの手法を鉛直噴流に拡張して、若干の考察を行う。

基礎式

(i) 図に示したような二次元の場合と考え、中心流速、中心密度と  $U_x, \rho_x$  とする。噴流内では各断面において、流速及び密度分布の相似性が成立するものとして、次式を用いる。  
 $U = U_x f(\eta) \dots (1) \quad \rho = \rho_w - (\rho_w - \rho_x) m(\eta) \dots (2) \quad \eta = \frac{y}{B}$   
 今、連続の式を  $0$  から  $y$  まで積分することにより次式が得られる。

$$v = -\alpha'(\eta) \cdot E \cdot U_x \dots (3) \quad \alpha'(\eta) = \int_0^\eta f(\eta) \cdot d\eta$$

(i) 及び (3) 式を  $y$  方向の運動方程式に代入し、 $y$  から  $B$  まで積分すると、圧力  $P$  は

$$P = P_w - \rho_w \left( r'(\eta) \cdot \frac{d}{dx} (E B U_x^2) - E^2 U_x^2 \{ \alpha^2 - \alpha'^2(\eta) \} \right) \dots (4) \quad \alpha_1 = \int_0^\eta f(\eta) \cdot d\eta,$$

$$r'(\eta) = \int_0^\eta f(\eta) \cdot \int_0^\eta f(\eta) \cdot d\eta \cdot d\eta, \quad P_w: y > B \text{ の領域における圧力}$$

(4) 式を用いると、 $x$  方向の運動方程式及び平均流のエネルギー方程式は次のように表わされる。

$$\frac{\partial}{\partial x} U^2 + \frac{\partial}{\partial y} Uv = -\frac{\rho}{\rho} (P - P_w) + \frac{U}{\rho} \frac{\partial T}{\partial y} + \left\{ r'(\eta) \cdot \frac{d^2}{dx^2} (E B U_x^2) - \{ \alpha_1^2 - \alpha^2(\eta) \} \frac{d}{dx} (E^2 U_x^2) \right\} \dots (5)$$

$$\frac{1}{2} \frac{\partial}{\partial x} \{ U(u^2 + v^2) \} + \frac{1}{2} \frac{\partial}{\partial y} \{ v(u^2 + v^2) \} = U \cdot \frac{P_w - P}{\rho_w} \cdot g + \frac{U}{\rho} \frac{\partial T}{\partial y} + \alpha^2(\eta) f(\eta) \cdot E U_x \frac{d}{dx} [E U_x^2] - 2\alpha^2(\eta) f(\eta) \cdot \frac{E^3 U_x^3}{B} + r'(\eta) \cdot f(\eta) U_x \frac{d^2}{dx^2} (E B U_x^2) - \{ \alpha_1^2 - \alpha^2(\eta) \} \cdot f(\eta) \cdot U_x \frac{d}{dx} (E^2 U_x^2) \dots (6)$$

基礎式は連続の式、拡散方程式、そして上記の  $x$  方向運動方程式、平均流のエネルギー方程式で、

噴流断面に関して積分すると、 $\tau/\rho = K_E \frac{du}{dy} = \frac{1}{3} \rho_w c \cdot l \frac{du}{dy}$  とし、

$$\frac{d}{dx} [B U_x] = E U_x \dots (7) \quad \alpha_2 = \int_0^1 f(\eta) \cdot d\eta, \quad \alpha_3 = \int_0^1 f^2(\eta) \cdot d\eta, \quad \alpha_4 = \int_0^1 \left( \frac{df}{d\eta} \right)^2 \cdot d\eta, \quad \alpha_5 = \int_0^1 f(\eta) \cdot \frac{df}{d\eta} \cdot d\eta$$

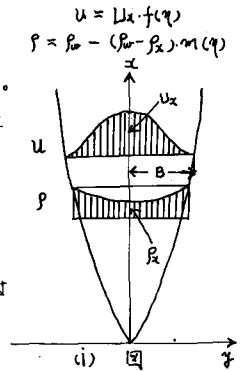
$$\frac{d}{dx} [E_s B \cdot U_x] = 0 \dots (8) \quad \beta_1 = \int_0^1 m(\eta) \cdot d\eta, \quad \beta_2 = \int_0^1 f(\eta) \cdot m(\eta) \cdot d\eta, \quad \delta_1 = \int_0^1 r'(\eta) \cdot d\eta$$

$$\alpha_2 \frac{d}{dx} [B U_x^2] = \beta_1 g E_s B + \delta_1 B \frac{d^2}{dx^2} (E B U_x^2) - \delta_2 \cdot B \frac{d}{dx} (E^2 U_x^2) \dots (9) \quad \delta_2 = \int_0^1 \{ \alpha_1^2 - \alpha^2(\eta) \} \cdot d\eta$$

$$\frac{1}{2} \alpha_3 \frac{d}{dx} [B U_x^3] = \beta_2 g E_s B U_x - \alpha_4 K_E \frac{U_x^3}{B} + \delta_3 E B U_x \frac{d}{dx} (E U_x^2) - 2\delta_5 E^3 U_x^3 + \delta_6 \cdot B \cdot U_x \frac{d^2}{dx^2} (E B U_x^2) - \delta_7 B U_x \frac{d}{dx} (E U_x^2) \dots (10)$$

$$\delta_3 = \int_0^1 \alpha^2(\eta) \cdot f(\eta) \cdot d\eta, \quad \delta_6 = \int_0^1 f(\eta) \cdot r'(\eta) \cdot d\eta, \quad \delta_7 = \int_0^1 \{ \alpha_1^2 - \alpha^2(\eta) \} \cdot f(\eta) \cdot d\eta$$

次に乱れエネルギー  $C^2 = \overline{u^2} + \overline{v^2} + \overline{w^2}$  及び Reynolds 応力  $\overline{uv}$  の輸送方程式において、拡散係数  $K_p = \alpha_x \frac{1}{3} c \cdot l$  とし、 $C^2$  の dissipation  $= -\frac{\partial v}{\lambda^2} C^2$  ( $\delta_x = 10.0$ ),  $\overline{uv}$  の dissipation  $= -\frac{K_v}{\lambda^2} \overline{uv}$  ( $K_v = 40.0$ ) とすると、乱れエネルギーの方程式及び Reynolds 応力の輸送方程式の噴流断面に関しての積分は次のようになる。



$$\alpha_1 \frac{d}{dx} [B U_x C^2] = \frac{2}{3} \alpha_0 \beta_x C l \frac{U_x^2}{B} - \frac{2}{3} \beta_1 \alpha_x \beta_x q C l \frac{d}{dx} [E_s B] - \frac{S_k V}{\lambda^2} C^2 B \quad \dots (11)$$

$$\alpha_3 \frac{d}{dx} [C \cdot l \cdot U_x^2] = -3 \frac{K_k}{\beta_x} C^2 U_x - \alpha_x q C l E_s + \frac{V_k V}{\lambda^2} C \cdot l \cdot U_x \quad \dots (12) \quad \lambda: \text{Taylor's micro scale}$$

$g' = C/U_x$   $l = \beta_0 \cdot B$  とし、(7), (9) の関係を用いて、(10) 式の左辺が連行係数 E を含む形に変形すると、  
 若干の計算の後 E を規定する式として ここで  $1/\beta_x^2 = \frac{E_0 q B}{U_x^2} = \frac{\alpha_1^2 R_i}{\beta_1}$  ... (13)

$$2 S_5 E^2 - \frac{1}{2} \alpha_3 E = (\beta_2 - \frac{\alpha_3 \beta_1}{\alpha_2}) \frac{1}{\beta_x^2} + (\delta_6 - \frac{\alpha_3 \delta_1}{\alpha_2}) \chi_1(\frac{1}{\beta_x}, E) + (\frac{\alpha_3 \delta_2}{\alpha_2} - \delta_7) \chi_2(\frac{1}{\beta_x}, E) + \delta_5 E \chi_3(\frac{1}{\beta_x}, E) - \frac{\alpha_4}{3} \beta_x \beta_0 g' \quad \dots (14)$$

$$\chi_0(\frac{1}{\beta_x}, E) = \frac{\beta_1}{\alpha_2} \frac{1}{\beta_x^2} - E, \quad \chi_2(\frac{1}{\beta_x}, E) = -6 \frac{\beta_1}{\alpha_1^2} \cdot E \cdot \frac{1}{\beta_x^2} \cdot \chi_0(\frac{1}{\beta_x}, E) \frac{dE}{dR_i} + 2 E^2 \cdot \chi_0(\frac{1}{\beta_x}, E)$$

$$\chi_1(\frac{1}{\beta_x}, E) = -6 \frac{\beta_1^2}{\alpha_1^2 \alpha_2} (\frac{1}{\beta_x^2})^2 \cdot \chi_0(\frac{1}{\beta_x}, E) \cdot \frac{dE}{dR_i} - \frac{\beta_1}{\alpha_2} E \cdot \frac{1}{\beta_x^2} \cdot \chi_0(\frac{1}{\beta_x}, E) + 9 \frac{\beta_1^2}{\alpha_1^4} (\frac{1}{\beta_x^2})^2 \chi_0(\frac{1}{\beta_x}, E) \frac{d^2 E}{dR_i^2} + 3 \frac{\beta_1}{\alpha_1^2} [2 \frac{\beta_1}{\alpha_2} (\frac{1}{\beta_x^2})^2 - \frac{1}{\beta_x^2} \cdot E] \cdot \chi_0(\frac{1}{\beta_x}, E) \frac{dE}{dR_i} + 9 \frac{\beta_1}{\alpha_1^2} (\frac{1}{\beta_x^2})^2 \chi_0(\frac{1}{\beta_x}, E) (\frac{\beta_1}{\alpha_2} - \frac{\beta_1}{\alpha_1^2} \frac{dE}{dR_i}) \frac{dE}{dR_i}$$

$$\chi_3(\frac{1}{\beta_x}, E) = \chi_0(\frac{1}{\beta_x}, E) \cdot (-3 \frac{\beta_1}{\alpha_1^2} \frac{1}{\beta_x^2} \frac{dE}{dR_i} + 2 E) \quad \text{お得られる。}$$

また (12) 式を用いて (11) 式から Taylor の micro scale  $\lambda$  を消去した後、(7)(8)(9)(10) の関係式を用いて (11) 式を  $g'$  について整理すると、

$$\frac{3 K_k S_k}{\beta_0 \beta_x \beta_1} g'^2 + \{ \alpha_1 + \frac{\alpha_3 S_k}{\beta_x} \} \chi_4(E, \frac{1}{\beta_x}) + \frac{\alpha_4 S_k}{\beta_x} \cdot \frac{1}{\beta_x} \} g' + \frac{2}{3} \beta_1 \alpha_x \beta_x \beta_0 \chi_5(\frac{1}{\beta_x}, E) - \frac{2}{3} \alpha_4 \beta_x \beta_0 = 0 \quad \dots (15)$$

$$\chi_4(\frac{1}{\beta_x}, E) = 2 \frac{\beta_1}{\alpha_2} \frac{1}{\beta_x^2} - E + 2 \frac{S_1}{\alpha_2} \chi_1(\frac{1}{\beta_x}, E) - 2 \frac{S_2}{\alpha_2} \chi_2(\frac{1}{\beta_x}, E)$$

$$\chi_5(\frac{1}{\beta_x}, E) = -\frac{\beta_1}{\alpha_2} (\frac{1}{\beta_x^2})^2 + \frac{1}{\beta_x^2} \cdot E - \frac{S_1}{\alpha_2} \frac{1}{\beta_x^2} \chi_1(\frac{1}{\beta_x}, E) + \frac{S_2}{\alpha_2} \frac{1}{\beta_x^2} \chi_2(\frac{1}{\beta_x}, E)$$

(14) 式、(15) 式から連行係数 E は、流速分布  $f$ 、密度分布  $m$  による係数を含みながら  $1/\beta_x^2 = \alpha_1^2/\beta_1 \cdot R_i$  に規定されていることがわかる。(14)(15) で  $1/\beta_x^2 \rightarrow 0$  の場合が homogeneous two dimensional jet に相当するが、この場合の連行係数は  $E_0 = 0.075$  程度である。流速分布  $f(\eta)$ 、密度欠損分布  $m(\eta)$  は軸対称の plume と同様 Gauss 分布をとるものと思われるが、後の計算を容易にする為、Gauss 分布に似せた次の函数形  $f(\eta) = m(\eta) = 1.54\eta^3 - 2.48\eta^2 - 0.06\eta + 1$  で表わすことにする。なおこの分布形は我々が実験で測定した密度欠損分布 (ii) 図と良い一致を示している。従って諸係数は  $\alpha_1 = \beta_1 = 0.528$   $\alpha_2 = \beta_2 = 0.392$ ,  $\alpha_3 = 0.321$ ,  $\alpha_4 = 1.129$ ,  $\alpha_5 = -0.499$ ,  $\delta_1 = 0.063$ ,  $\delta_2 = 0.125$ ,  $\delta_5 = 0.049$ ,  $\delta_6 = 0.049$ ,  $\delta_7 = 0.097$  で与えられる。式 (14)(15) で  $E_0 = 0.075$  として  $\beta_x$  を逆算すると  $\beta_x = 0.133$  となり、妥当な値と思われる。次に式 (14)(15) を用いて、 $E$  と  $R_i = \beta_1/\alpha_1^2 \cdot 1/\beta_x^2$  の関数として計算を行なった。計算は第一近似解として (14) 式の右辺における  $dE/dR_i$  を近似的に  $dE/dR_i = 0$  として  $E$  を計算し、その計算結果から、新たに求めた  $dE/dR_i$  を用いて第二近似解を  $\eta$  1.0 0.9 0.8 0.7 0.6 0.5 0.4 0.3 0.2 0.1 0

求める。同様の手法で順次近似解を求めて、近似度を高くしていく。計算結果は (iii) 図に示す。 $R_i$  の増加とともに  $E$  を増加する傾向が認められる。なお助力願った岩下、木寺両君に、感謝の意を表します。

